

# *O вероятности и времени инверсии большого спина*

Екатерина Карацуба и Паоло Моретти

Федеральный исследовательский центр "Информатика и управление"  
РАН, Россия;  
Институт комплексных систем С.Н.Р., отдел Флоренции, Италия

30 сентября 2018 г.

Динамика спина изучается на основе непосредственного применения уравнения Шредингера. Полный спин  $S$  рассматривается в статическом магнитном поле, индуцирующем переходы между соседними состояниями. Это, очевидно, упрощенная ситуация, в некоторых случаях описывающая реальную физическую систему, как это показано в [1]–[3].

В [3] коэффициент  $|b_n(t)|^2$ , который определяется как вероятность найти систему в  $n$ -ом спиновом состоянии, был вычислен и оказался такой сложной тригонометрической суммой:

$$b_n(t) = -2 \frac{(-1)^n}{N+1} \sum_{s=1}^N \sin \frac{s\pi}{N+1} \sin \frac{ns\pi}{N+1} e^{2i\frac{k}{\hbar}t \cos \frac{s\pi}{N+1}},$$

$$1 \leq n \leq N.$$

Примерное выражение для  $b_n(t)$  посредством соответствующих функций Бесселя было получено только при условии, что  $n \ll N$ ,  $\alpha t \ll N$  ( $N$  есть общее число спиновых состояний,  $\alpha$  – параметр), поскольку только в этом случае можно обоснованно заменить тригонометрическую сумму по всем спиновым состояниям соответствующим интегралом. Используя эвристические рассуждения, это соотношение предполагается справедливым также при  $n = N$ , что соответствует переходу от состояния спин-вверх к состоянию спин-вниз, и таким образом можно вычислить время инверсии. Оно определяется первым максимумом функции  $|b_N(t)|^2$ . Однако из-за значимости момента времени инверсии, связывающего теорию с экспериментальными данными, нужны были более точные и обоснованные вычисления на основе строгого подхода, предложенного в [3]. Они были проведены в [4].

Настоящий доклад посвящён результату, опубликованному в [4], где для амплитуды вероятности  $b_N(t)$  была выведена новая формула через функции Бесселя с большими индексами, при  $N \geq 2$  и для любого  $t$ , и его продолжению в работе этого (2018) года в [8].

Мы получим новые асимптотические разложения для функции  $b_N(t)$ , которые позволяют вычислить  $b_N(t)$  с растущей точностью (см. графики).

Получено асимптотически точное выражение для времени инверсии спина. Применение этой полезной формулы показано на примере кластера Fe8.

Гамильтониан нашей системы, который включает полный спин  $S$ , имеет вид:  $H = H_0 + V$ , где  $H_0$  есть статический гамильтониан (т.е. магнитное поле) и  $V$  есть член, ответственный за переходы между спиновыми состояниями. Начиная с дискретного набора  $N$  ( $N = 2S + 1$ ) собственных состояний спина  $|n\rangle$  при  $H_0$  с энергиями  $E_n$ , можно записать волновую функцию как:

$$\psi(t) = \sum_{n=1}^N a_n(t)|n\rangle \exp(-iE_n t/\hbar).$$

Из уравнения Шрёдингера получаем коэффициенты  $a_n(t)$ :

$$i\hbar \dot{a}_n(t) = \sum_{l=1}^N a_l(t)V_{nl} \exp(i\omega_{nl}t), \quad \omega_{nl} = \frac{E_n - E_l}{\hbar}.$$

Уместны некоторые упрощения. Во-первых, можно предположить, что  $V$  связывает только соседние состояния, и не имеет диагональных элементов; более того,  $|\omega_{n,n\pm 1}| = \omega$ , независимо от  $n$ , и  $V_{n,n+1}^* = V_{n,n-1} = k$ .

Начальными условиями, представляющими интерес, являются такие:

$$a_1(0) = 1,$$

$$a_n(0) = 0, \quad n = 2, 3, \dots, N,$$

что соответствует состоянию спин вверх (или вниз).

Подстановка

$$b_n(t) = a_n(t)e^{-in\omega t}$$

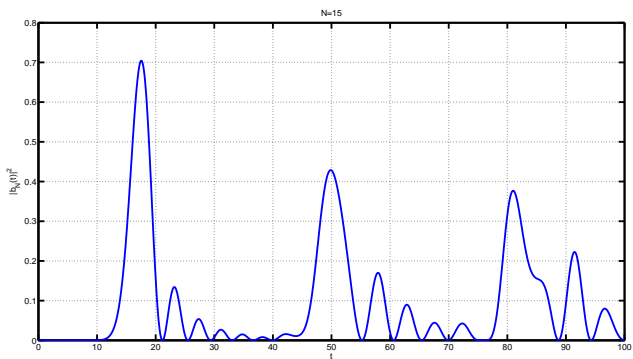
приводит к системе уравнений, которая может быть решена преобразованием Лапласа. Если рассмотреть  $n = N$ , то есть именно амплитуду вероятности инверсии спина, можно получить следующий результат (см. [3]):

$$b_N(t) = -2 \frac{(-1)^N}{N+1} \sum_{s=1}^N \sin \frac{s\pi}{N+1} \sin \frac{Ns\pi}{N+1} e^{2\pi i \beta \cos \frac{s\pi}{N+1}}, \quad (1)$$

где

$$\beta = \frac{kt}{\pi \hbar} = \alpha \frac{t}{2\pi}, \quad \alpha = \frac{2k}{\hbar}. \quad (2)$$

Это уравнение получается в пределе  $\omega \rightarrow 0$  и не зависит от  $\omega$ . Может быть выполнен подробный расчет до первого порядка по  $\omega$  (см. [3]), и оказывается, что коэффициент  $b_N$  снова задается формулами (1), (2) в пределах фазового множителя. Таким образом, если  $\omega$  не слишком велико, значение  $b_N$  почти нечувствительно к его варьированию.



*Рис.*: Значение  $|b_N(t)|^2$  ( $N = 10$ ,  $\alpha = 1$ ), определяемое формулой (1).

Докажем следующую

**Теорема.** При  $b_N(t)$ ,  $N \geq 2$ , справедлива формула:

$$b_N(t) = (-1)^N \frac{2}{\alpha t} \sum_{\nu=1}^{+\infty} i^{(N+1)(2\nu-1)} \{[(N+1)(2\nu-1)-1]$$

$$J_{(N+1)(2\nu-1)-1}(\alpha t) + [(N+1)(2\nu-1)+1] J_{(N+1)(2\nu-1)+1}(\alpha t)\}, \quad (3)$$

$N \geq 2$ .

Доказательство теоремы основано на трёх леммах.

**Лемма 1.** Для  $b_N(t)$  справедливо соотношение:

$$b_N(t) = \frac{(-1)^N}{2(N+1)} [S_1 - S_2 - (S_3 - S_4)], \quad (4)$$

где

$$S_1 = \sum_{j=1}^{N+1} \exp \left[ 2\pi i \left( \frac{2j-1}{N+1} + \beta \cos \frac{(2j-1)\pi}{N+1} \right) \right],$$

$$S_2 = \sum_{j=1}^{N+1} \exp \left[ 2\pi i \left( \frac{2j}{N+1} + \beta \cos \frac{2j\pi}{N+1} \right) \right],$$

$$S_3 = \sum_{j=1}^{N+1} \exp \left[ 2\pi i \beta \cos \frac{(2j-1)\pi}{N+1} \right], \quad S_4 = \sum_{j=1}^{N+1} \exp \left( 2\pi i \beta \cos \frac{2j\pi}{N+1} \right).$$

**Д о к а з а т е л ь с т в о.** Пользуемся тем, что

$$(-1)^{s+1} \exp \left[ 2\pi i \left( \frac{s}{N+1} + \beta \cos \frac{s\pi}{N+1} \right) \right]$$

является функцией, периодической по  $s$  с периодом  $2(N+1)$ ,

$$\sum_{s=1}^{2(N+1)} (-1)^{s+1} \exp \left[ 2\pi i \left( \frac{s}{N+1} + \beta \cos \frac{s\pi}{N+1} \right) \right] =$$

$$\sum_{s=1}^{2(N+1)} (-1)^{s+1} \exp \left[ -2\pi i \left( \frac{s}{N+1} - \beta \cos \frac{s\pi}{N+1} \right) \right],$$

и следовательно

$$b_N(t) = \frac{(-1)^N}{2(N+1)} \sum_{s=1}^{2(N+1)} (-1)^{s+1} \left\{ \exp \left[ 2\pi i \left( \frac{s}{N+1} + \beta \cos \frac{s\pi}{N+1} \right) \right] - \exp \left[ 2\pi i \beta \cos \frac{s\pi}{N+1} \right] \right\}. \quad (5)$$

Затем (5) представляется в виде суммы двух сумм, одна по нечётным  $s$ :

$$s = 2j - 1; j = 1, 2, 3, \dots, N + 1;$$

другая по чётным  $s$ :

$$s = 2j; j = 1, 2, 3, \dots, N + 1;$$

и отсюда получаем утверждение леммы.

Рассмотрим функцию

$$f(x) = e^{2\pi i \beta \cos 2\pi x}, \quad (6)$$

которая является периодической с периодом 1. Разложим  $f(x)$  в ряд Фурье

$$f(x) = \sum_{k=-\infty}^{+\infty} c(k) e^{2\pi i kx}, \quad (7)$$

с коэффициентами

$$c(k) = \int_0^1 f(x) e^{-2\pi i kx} dx = 2 \int_0^{\frac{1}{2}} e^{2\pi i \beta \cos 2\pi x} \cos 2\pi kx dx. \quad (8)$$

**Лемма 2.** При  $|k| > 0$ , справедлива оценка:

$$|c(k)| \leq \frac{(2\pi\beta)^2 + 2\pi|\beta|}{k^2},$$

и, в частности, ряд Фурье для функции  $f(x)$  сходится абсолютно.

**Доказательство.** Из (8)  $c(k) = c(-k)$ . Находим при  $k \neq 0$ :

$$c(k) = \int_0^1 f(x) \frac{de^{-2\pi ikx}}{-2\pi ik} = \frac{1}{(2\pi ik)^2} \int_0^1 f''(x) e^{-2\pi ikx} dx,$$

$$|c(k)| \leq \frac{1}{(2\pi k)^2} \int_0^1 |f''(x)| dx \leq \frac{1}{(2\pi k)^2} \max_{0 \leq x \leq 1} |f''(x)|.$$

Поскольку из (7)

$$f''(x) = -16\pi^4 \beta^2 \sin^2 2\pi x e^{2\pi i \beta \cos 2\pi x} - 8\pi^3 i \beta \cos 2\pi x e^{2\pi i \beta \cos 2\pi x},$$

то

$$|f''(x)| \leq (2\pi)^4 \beta^2 + (2\pi)^3 |\beta|.$$

Отсюда следует утверждение леммы.

Пусть  $M$  и  $m$  – целые,  $M > 1$ ,  $0 \leq m \leq M$ ; и суммы  $A$  и  $B$  определяются как :

$$A = \sum_{j=1}^M \exp \left[ 2\pi i \left( \frac{m}{M} \left( j - \frac{1}{2} \right) + \beta \cos 2\pi \frac{\left( j - \frac{1}{2} \right)}{M} \right) \right],$$

$$B = \sum_{j=1}^M \exp \left[ 2\pi i \left( \frac{m}{M} j + \beta \cos 2\pi \frac{j}{M} \right) \right].$$

**Лемма 3.** Для сумм  $A$  и  $B$  справедливы следующие соотношения:

$$A = M \sum_{r=-\infty}^{+\infty} (-1)^r c(rM - m),$$

$$B = M \sum_{r=-\infty}^{+\infty} c(rM - m),$$

где  $c(k)$  – коэффициенты Фурье функции  $f(x) = e^{2\pi i \beta \cos 2\pi x}$ .

**Доказательство.** Представляя множитель  $e^{2\pi i \beta \cos 2\pi x}$  каждого слагаемого сумм  $A$  и  $B$  в виде ряда Фурье, находим

$$\begin{aligned} A &= \sum_{j=1}^M \exp \left[ 2\pi i \frac{m}{M} \left( j - \frac{1}{2} \right) \right] \sum_{k=-\infty}^{+\infty} c(k) \exp \left( 2\pi i \frac{j - \frac{1}{2}}{M} k \right) \\ &= \sum_{k=-\infty}^{+\infty} c(k) \sum_{j=1}^M \exp \left[ 2\pi i \frac{m+k}{M} \left( j - \frac{1}{2} \right) \right], \end{aligned} \quad (9)$$

$$\begin{aligned} B &= \sum_{j=1}^M \exp \left( 2\pi i \frac{m}{M} j \right) \sum_{k=-\infty}^{+\infty} c(k) \exp \left( 2\pi i \frac{j}{M} k \right) \\ &= \sum_{k=-\infty}^{+\infty} c(k) \sum_{j=1}^M \exp \left( 2\pi i \frac{m+k}{M} j \right). \end{aligned} \quad (10)$$

Поскольку

$$\sum_{j=1}^M \exp \left[ 2\pi i \frac{m+k}{M} \left( j - \frac{1}{2} \right) \right] =$$

$$\begin{cases} (-1)^r M & , \text{если } m+k = rM, \text{ } r \text{ целое}, -\infty < r < +\infty; \\ 0 & , \text{если } m+k \text{ не кратно } M; \end{cases}$$

$$\sum_{j=1}^M \exp \left( 2\pi i \frac{m+k}{M} j \right) =$$

$$\begin{cases} M & , \text{если } m+k = rM, \text{ } r \text{ целое}, -\infty < r < +\infty; \\ 0 & , \text{если } m+k \text{ не кратно } M; \end{cases}$$

то из (9) и (10) получаем соответственно

$$A = M \sum_{r=-\infty}^{+\infty} (-1)^r c(rM - m); \quad (11)$$

$$B = M \sum_{r=-\infty}^{+\infty} c(rM - m). \quad (12)$$

Лемма доказана.

**Следствие.** Из леммы 1 и леммы 3 получаем

$$\begin{aligned} b_N(t) &= (-1)^{N+1} \sum_{\nu=1}^{+\infty} \{c[(N+1)(2\nu-1)-2] \\ &\quad + c[(N+1)(2\nu-1)+2] - 2c[(N+1)(2\nu-1)]\}. \end{aligned} \quad (13)$$

**Д о к а з а т е л ь с т в о т е о р е м ы.** Члены этого ряда, функции  $c(k)$ , определяются интегралами (8) и могут преобразованы к удобному виду. Заменой переменных интегрирования  $y = 2\pi x$ ,  $\varphi = y - \frac{\pi}{2}$ , из (8) получаем

$$c(k) = \frac{1}{\pi} \int_0^\pi e^{i\alpha t \cos y} \cos ky dy = \frac{i^k}{2\pi} \int_0^{2\pi} e^{i(k\varphi - \alpha t \sin \varphi)} d\varphi,$$

$$\alpha = 2\pi\beta/t.$$

## Интеграл

$$J_k(\alpha t) = \frac{1}{2\pi} \int_0^{2\pi} e^{i(k\varphi - \alpha t \sin \varphi)} d\varphi \quad (14)$$

есть функция Бесселя  $k$ -ого порядка; пользуясь известными рекуррентными формулами (см.[6]), представим ряд (13) в виде

$$b_N(t) = (-1)^N \frac{2}{\alpha t} \sum_{\nu=1}^{+\infty} i^{(N+1)(2\nu-1)} \left\{ [(N+1)(2\nu-1)-1] J_{(N+1)(2\nu-1)-1}(\alpha t) + [(N+1)(2\nu-1)+1] J_{(N+1)(2\nu-1)+1}(\alpha t) \right\}, \quad (15)$$

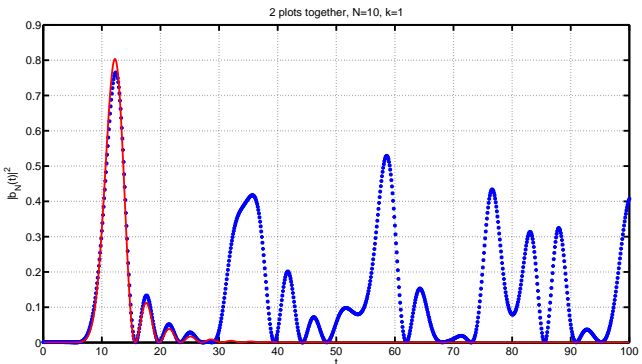
$N \geq 2$ . Теорема доказана.

**Замечание.** Так как  $J_\nu(\alpha t)$  убывает экспоненциально с ростом  $\nu$ , а суммирование в (15) идёт по  $\nu$ , принадлежащим арифметической прогрессии с разностью  $2(N + 1)$ , то уже первые слагаемые суммы (15) обеспечивают хорошее приближение к  $b_N(t)$ .

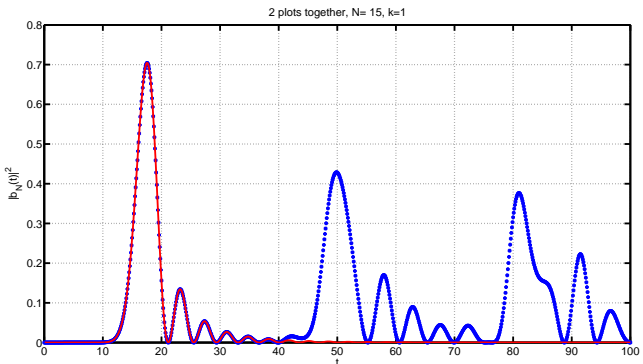
Пусть  $k \geq 1$ ,  $N \geq 2$

$$b_N^{(k)}(t) = (-1)^N \frac{2}{\alpha t} \sum_{\nu=1}^k i^{(N+1)(2\nu-1)} \{[(N+1)(2\nu-1)-1]$$

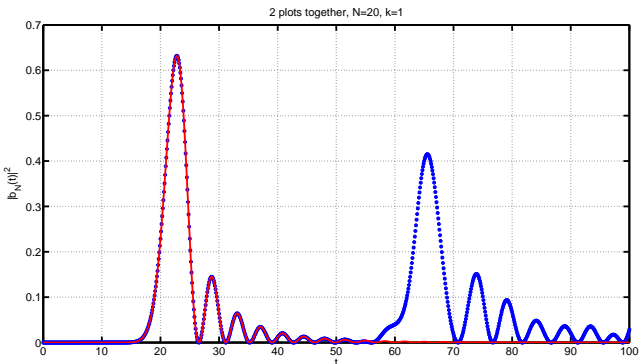
$$J_{(N+1)(2\nu-1)-1}(\alpha t) + [(N+1)(2\nu-1)+1] J_{(N+1)(2\nu-1)+1}(\alpha t)\}. \quad (16)$$



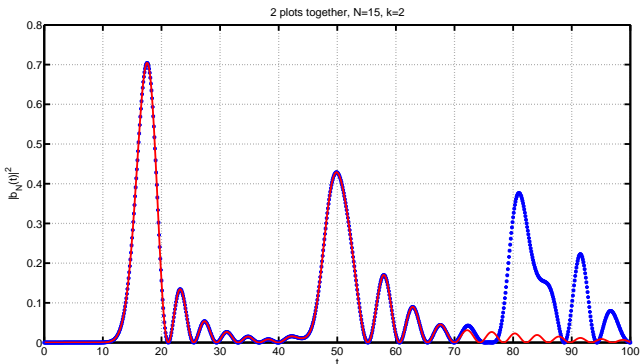
*Рис.:* Два графика вместе: значение  $|b_N(t)|^2$  ( $N = 10, \alpha = 1$ ), определяемое (2) – линия из синих звёздочек; и определяемое приближением (15), (16) – непрерывная красная линия; с  $k = 1$ .



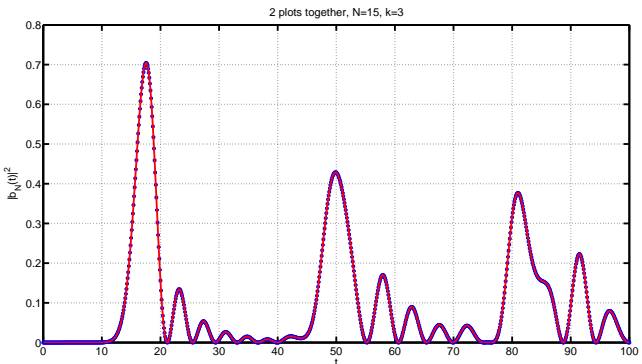
*Рис.:* Два графика вместе: значение  $|b_N(t)|^2$  ( $N = 15$ ,  $\alpha = 1$ ), определяемое (2) – линия из синих звёздочек; и определяемое приближением (16) – непрерывная красная линия; с  $k = 1$ .



*Рис.:* Два графика вместе: значение  $|b_N(t)|^2$  ( $N = 20$ ,  $\alpha = 1$ ), определяемое (2) – линия из синих звёздочек; и определяемое приближением (16) – непрерывная красная линия; с  $k = 1$ .



*Рис.:* Два графика вместе: значение  $|b_N(t)|^2$  ( $N = 15$ ,  $\alpha = 1$ ), определяемое (2) – линия из синих звёздочек; и определяемое приближением (16) – непрерывная красная линия; с  $k = 2$ .



*Рис.:* Два графика вместе: значение  $|b_N(t)|^2$  ( $N = 15, \alpha = 1$ ) , определяемое (2) – линия из синих звёздочек; и определяемое приближением (16) – непрерывная красная линия; с  $k = 3$ .

Пользуясь методами из [5] для уточнения аппроксимаций функций Бесселя, можно получить следующее асимптотическое выражение для вероятности инверсии спина ( $N \geq 2, N \rightarrow +\infty$ ):

$$b_N(t) = (-1)^N \frac{2i^{N+1}}{\alpha t} (NJ_N(\alpha t) + (N+2)J_{N+2}(\alpha t)) \\ + \frac{5}{2}\theta_0 \left( \frac{1}{(N+1)^2} + \frac{\alpha t}{(N+1)^3} + \frac{(\alpha t)^2}{(N+1)^4} \right), \quad |\theta_0| \leq 1,$$

которое справедливо для любого  $t$  из интервала  $0 < t \leq N/\alpha$ . В частности,

$$b_N(N/\alpha) = (-1)^N i^{N+1} \left( \frac{2^{4/3} \Gamma(\frac{1}{3})}{3^{1/6} \pi N^{1/3}} - \frac{2^{5/3} 3^{1/6} \Gamma(\frac{2}{3})}{\pi N^{2/3}} \right) + o\left(\frac{1}{N^{2/3}}\right).$$

Поскольку сумма (16) воспроизводит поведение функции  $b_N(\alpha t)$  в интересующей нас области хорошо даже при  $k = 1$ , воспользуемся этой аппроксимацией, чтобы найти положение первого максимума квадрата модуля этой функции, который даёт время инверсии. Этот максимум соответствует первому нулю функции  $d/d\tau \left( b_N^{(1)}(\alpha t) \right)$ , и задаётся уравнением ( $\tau = \alpha t$ )

$$0 = \frac{d}{d\tau} \left( N \frac{J_N(\tau)}{\tau} + (N+2) \frac{J_{N+2}(\tau)}{\tau} \right)$$

$$= \frac{d}{d\tau} \left( \frac{2N(N+1)}{\tau} J_{N+1}(\tau) + 2J_{N+2}(\tau) \right)$$

и поскольку (см., например, [6])

$$\frac{d}{d\tau} J_{N+2}(\tau) = J_{N+1}(\tau) - \frac{N+2}{\tau} J_{N+2}(\tau),$$

$$J_{N+2}(\tau) = -\frac{d}{d\tau} J_{N+1}(\tau) + \frac{N+1}{\tau} J_{N+1}(\tau),$$

мы в итоге получаем

$$0 = \frac{d J_{N+1}(\tau)}{d\tau} - \frac{J_{N+1}(\tau)}{\tau} \left( \frac{2N(N+1) + (N+3)(N+1) - \tau^2}{N^2 + 2N + 3} \right)$$

что легко проверяется. Разлагая  $d/d\tau (J_{N+1})$  в окрестности первого нуля (см. [7]), непосредственный расчёт приводит к результату

$$\bar{\tau} = N + 1 + 0.8N^{1/3} - 1.16N^{-1/3} + O(N^{-2/3}).$$

-  D. Gatteschi, R. Sessoli, and J. Villain, *Molecular Nanomagnets* (Oxford University Press, New York, 2006).
-  L. Cianchi, M. Mancini, P. Moretti, and G. Spina, *Rep. Prog. Phys.* **49**, 1243 (1986).
-  P. Moretti , M. Lantieri, and L. Cianchi , *J. Math. Phys.* **45**, 107 (2004).
-  Karatsuba E.A., Moretti P. Inversion time of large spins. *J. of Math. Phys.*, **46:4**, 042101-1–042101-7 (2005).
-  E.A. Karatsuba. On the computation of the Euler constant  $\gamma$ . *J. of Numerical Algorithms* **24:1-2**, 83 (2000).
-  Дж.Н. Ватсон, Теория бесселевых функций. (М.:ИЛ, 1949).
-  Справочник по специальным функциям, под ред. М. Абрамович, И. Стиган (Наука, 1979).
-  Е.А. Карацуба, П. Моретти. Вероятность инверсии большого спина в форме асимптотического разложения в ряд функций Бесселя. На рецензии в журнале (2018).